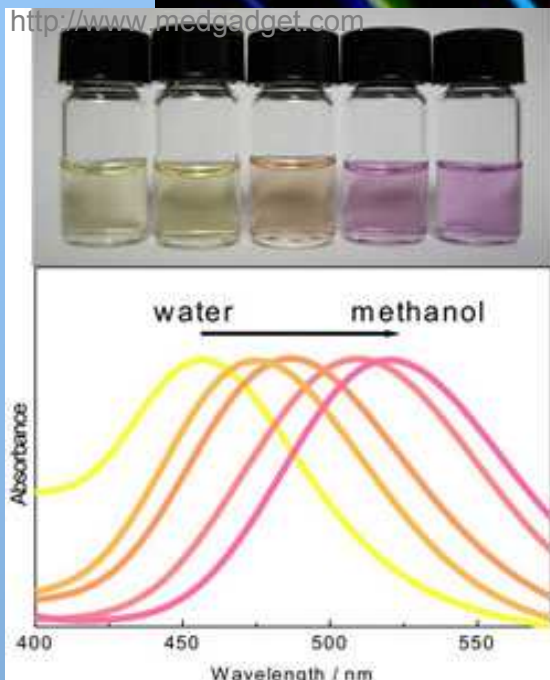


# Optická spektrometrie



rev. 2020

Vladan Bernard

Biofyzikální ústav, Lékařská fakulta MU

<http://www.pangolin.com>



## Optické metody

Obecně fyzikální laboratorní metody založené na interakci vzorku s elektromagnetickým zářením, či vyzařování elektromagnetického záření vzorkem

**Nespektrální metody** – bez výměny energie mezi látkou a zářením, sledovány změny vlastností záření – (rychlosť záření, polarizační rovina, rozptyl, ...)

**Spektrální metody** – výměna energie mezi látkou a zářením

- *emisní interakce*: detekce záření emitovaného vzorkem (dodáním tepla, elektrické energie, elementárních částic ▶ nestabilní energeticky bohaté stavy ▶ emise energie)
- *absorpční interakce*: detekce absorpcie záření vzorkem



# Optická absorpční spektrometrie

## Optická absorpční spektrometrie

- Absorpce elektromagnetického záření vzorkem
- Závislost odezvy vzorku na spektrálním složení dopadajícího elektromagnetického záření
- Odezva podmíněna strukturou energetických hladin molekul vzorku, vnějším molekulárním pohybem a mezimolekulárními interakcemi
- Kvalitativní analýza vzorku dle vyhodnocení průběhu absorpčních spekter a polohy jednotlivých absorpčních maxim ( $\lambda$ )
- Kvantitativní analýza vzorku dle „výšky signálu“ absorpčních maxim, hodnoty absorbance



## Elementární znalosti středoškolské optiky

Pole elektromagnetického záření:

- superpozice rovinných harmonických vln vektorů pole (složka elektrická a magnetická)
- soubor elementárních částic pole – fotony

Charakteristika elektromagnetického záření:

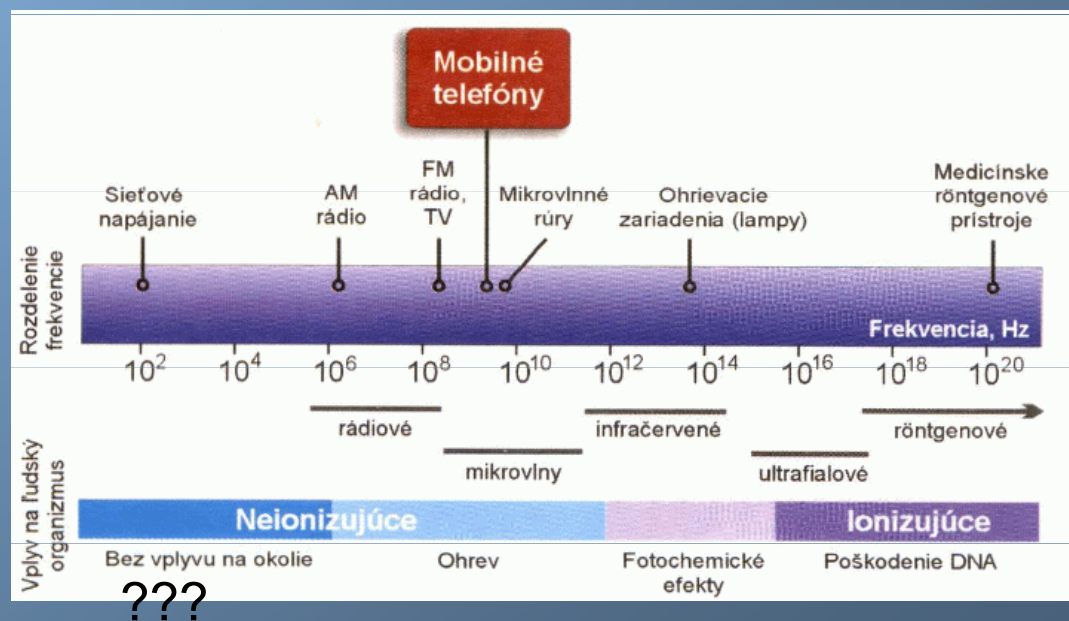
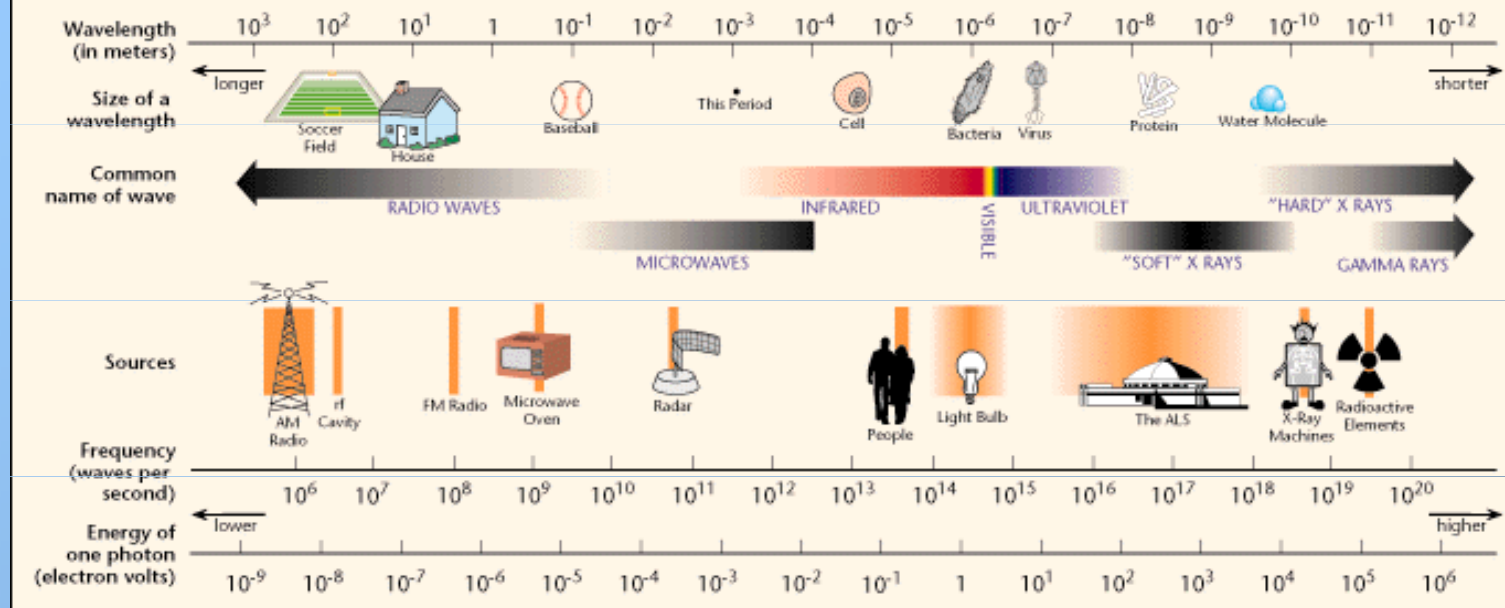
- frekvence  $f$
- vlnová délka  $\lambda$
- fázová rychlos  $v$  ( $v = \lambda \cdot f$ )
- energie fotonu  $E_p$  ( $E_p = h \cdot f$ ), h- Planckova konstanta

Elektromagnetická vlna

$$u = U_m \cdot \sin 2\pi \left( \frac{t}{T} - \frac{x}{\lambda} \right)$$

u- okamžitá hodnota velikosti vektoru,  $U_m$ - amplituda vektoru, t- čas šíření, T- perioda, x- vzdálenost od zdroje,  $\lambda$ - vlnová délka

# THE ELECTROMAGNETIC SPECTRUM





# Elementární znalosti středoškolské optiky

Fázová rychlosť elektromagnetické vlny  $v$ ,  $v = \frac{1}{\sqrt{\epsilon\mu}}$

$\epsilon$ - permitivita prostredí,  $\mu$ - permeabilita prostredí

- Index lomu  $n$ ,  $n = \frac{c}{v}$

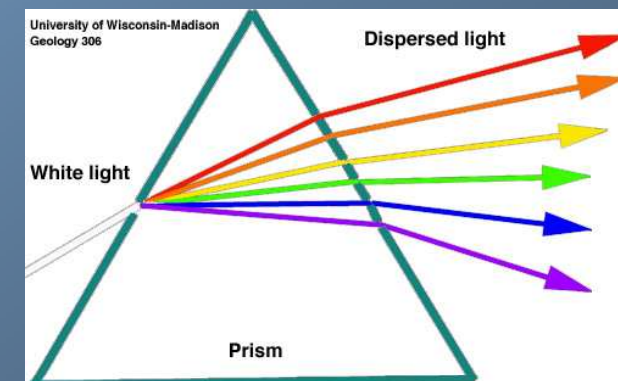
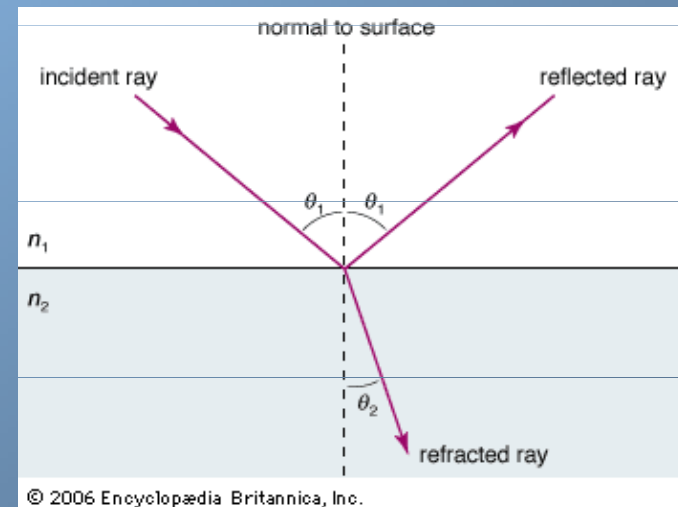
$v$ - rychlosť svetla v daném prostredí

- Zákon odrazu  $\alpha=\alpha'$
- Snellův zákon lomu  $n_1 \cdot \sin \alpha = n_2 \cdot \sin \beta$
- Rychlosť svetla ve vakuu  $c$ ,  $c=299\ 792\ 458\ m \cdot s^{-1}$

- Disperze - index lomu  $n$  klesá u normální disperze s vlnovou délkou dle Cauchyova disperzního vzorce:

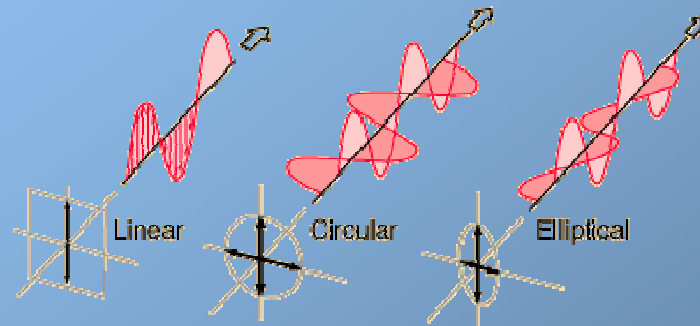
$$n = A + \frac{B}{\lambda^2} \quad A, B \text{ materiálové konstanty}$$

- Polarizace

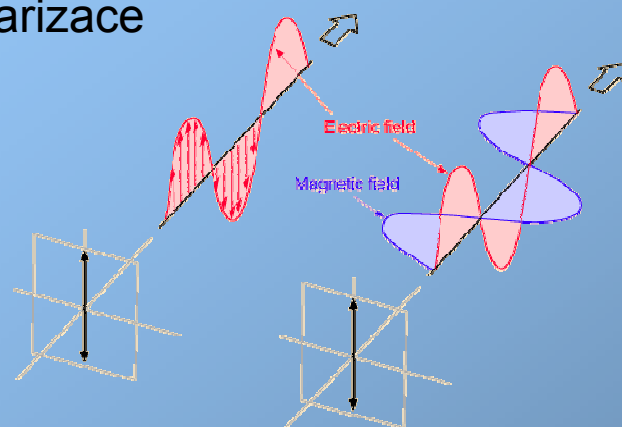


# Polarizace elektromagnetické vlny

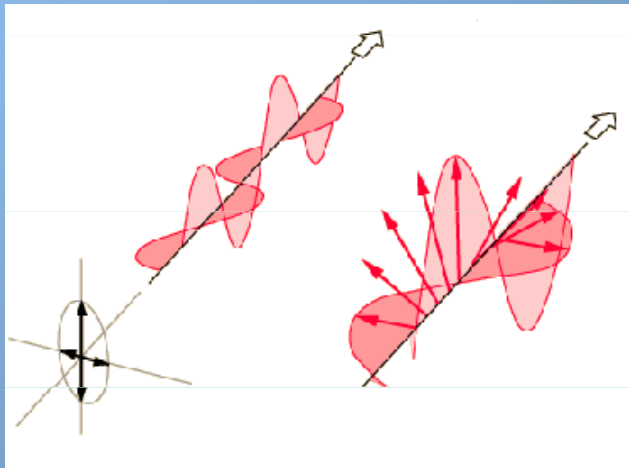
Polarizace elektromagnetického záření – geometrie kmitů vektorů elektromagnetického pole



- lineární polarizace

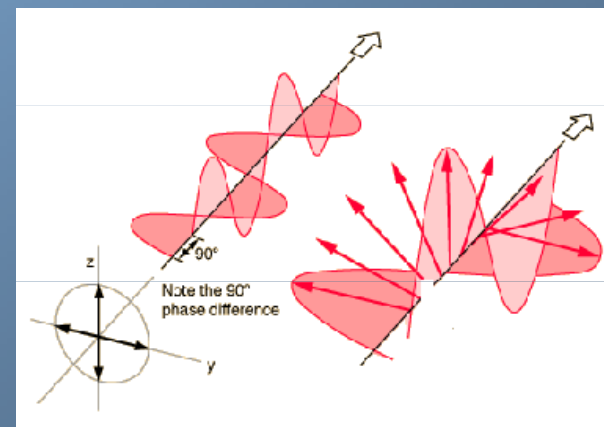


- eliptická polarizace



<http://micro.magnet.fsu.edu/primer/java/polarizedlight/waveform3d/index.html>

- cirkulární polarizace



Rotace vektoru elektrického pole  
a jeho komponenty v ose x a y

<http://hyperphysics.phy-astr.gsu.edu/hbase/phyopt/polclas.html>



## Absorpční spektrometrie

Dělení: elektronová (VIS, UV) absorpční spektrometrie –  $\lambda < 1 \mu\text{m}$   
vibrační (IF) absorpční spektrometrie – nejčastěji  $\lambda$  od  $3 \mu\text{m}$  do  $25 \mu\text{m}$  (celé spektrum  $1 \mu\text{m}$  až  $1000 \mu\text{m}$ )

Průchodem elektromagnetické vlny prostředím dochází k snižování její intenzity.

Velikost útlumu monochromatické vlny charakterizuje **absorbance A**.

$I_{\lambda_0}$  je počáteční hodnota intenzity elmag. vlny,  $I_{\lambda}$  je velikost intenzity elmag. vlny po průchodu látkou

$$A_{\lambda} = \log \frac{I_{\lambda_0}}{I_{\lambda}}$$

Závislost absorbance  $A_{\lambda}$  na uražené dráze  $x$  elmag. vlny v prostředí popisuje

LAMBERTŮV zákon:  $A_{\lambda} = b_{\lambda} \cdot x$ , kde  $b_{\lambda}$  je absorpční (extinkční) koeficient

Lambertův zákon (LZ) platí pro jednofotonovou absorpci v látkách, u nichž procházející záření nenarušuje původní termodynamickou rovnováhu. Možné odchylky od LZ u biologických materiálů způsobeny např. fotochemickými reakcemi, zvýšením teploty, aktivací chemických reakcí a pod.

Koncentrační závislost absorpčního koeficientu  $b$  popisuje BEERŮV zákon (BZ):  $b = \epsilon \cdot c$ , kde  $\epsilon$  je molární absorpční (extinkční) koeficient, charakterizující absorbuje látku.

Symbol  $c$  zastupuje molární koncentraci roztoku.

Spojením LZ a BZ: LAMBERT-BEERŮV zákon  $A_{\lambda} = \epsilon_{\lambda} \cdot x \cdot c$



## Měření absorpčních spekter – měření propustnosti

- Transmitance (propustnost elektromagnetického vlnění vzorkem)

$$T: \quad T_\lambda = \frac{I_\lambda}{I_{\lambda_0}}$$

- Úpravou vztahu pro absorbanci, dostáváme vztah pro T:  $T_\lambda = 10^{-\varepsilon_\lambda \cdot x \cdot c}$

- Relativní transmitance  $T_{rel}$ :  $T_{rel\lambda} = \frac{I_{v\lambda}}{I_{ref\lambda}}$

Kde  $I_{v\lambda}$  je intenzita elmag. vlny vystupující ze vzorku a  $I_{ref\lambda}$  je intenzita elmag. vlny vystupující z čistého rozpouštědla.



# Interakce elektromagnetické vlny s prostředím

- Energie fotonů se může při interakci s molekulou látky transformovat na energii **přechodu elektronu** na vyšší energetickou hladinu, na energii přechodu mezi dvěma **vibračními stavy** či energii přechodu mezi **stavy rotačními**.
- Absorbující atomy v molekule organické látky se nazývají **chromofory**
- Oblast IF – dochází při interakci molekul s fotony ke zvýšení jejich vibrační a rotační energie – rotačně vibrační spektra
- Oblast UV, VIS – silná absorpcie, v biol. mat. zejména bílkovinami a NK, interakce fotonů elektromagnetického záření s konjugovanými dvojnými vazbami látky
- Oblast mikrovlnného záření - interakce elektromagnetického záření s rotačními přechody molekul vykazujících permanentní dipólový moment

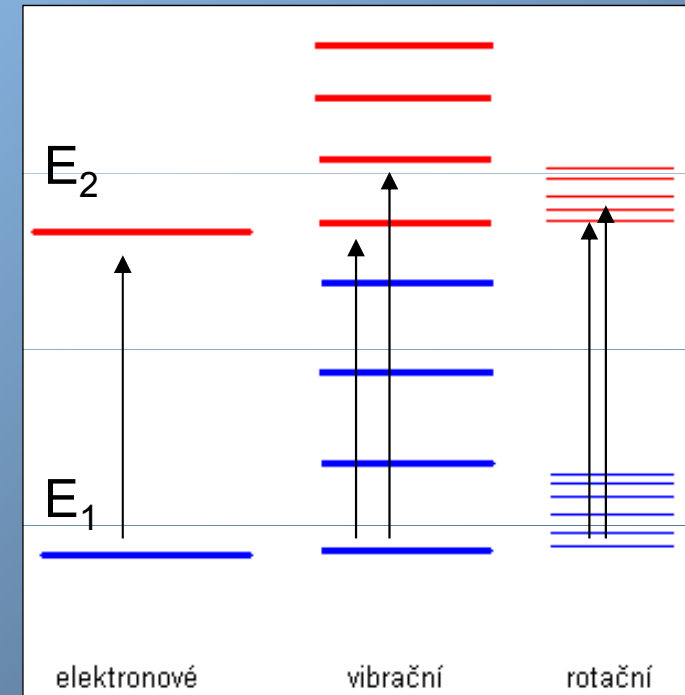
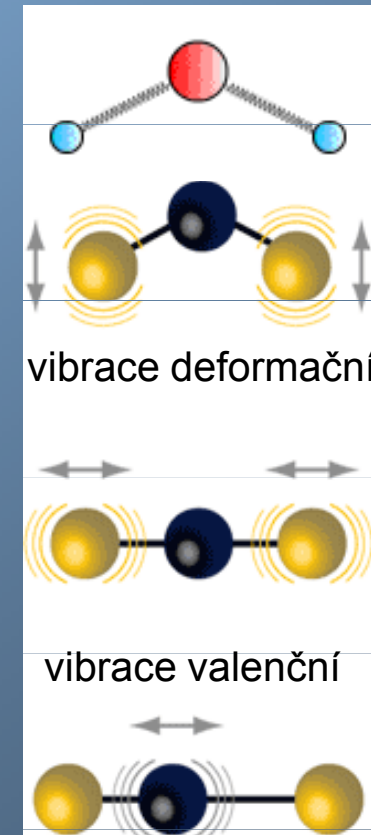


schéma přechodu elektronu při absorpci UV nebo VIS záření molekulou

# Interakce elektromagnetické vlny s prostředím

## Infračervená spektrometrie

- energie elektromagnetického záření pro tyto vlnové délky ( $E = h \cdot f$ ) natolik malá, že nepostačuje při její absorpci na změny elektronových stavů molekul, dostatečná ale na změny rotačních a vibračních stavů molekul
- pásové absorpcní spektrum
- rotační pohyb – rotace molekuly kolem svého těžiště, detekce u kapalin a tuhých látek obtížná
- vibrační pohyb – změna délky vazby a změna vazebného úhlu





# Absorpční spektrometr

Přístroj pro měření spekter propustnosti – **absorpční spektrometr**

Část optická: zdroj záření, monochromátor, detektor, vzorková část, optické prvky

Část elektromechanická: pohyb monochromátoru, měřič signálu detektoru, výstupní a záznamová zařízení

Spektorfotometr

- jednopaprskový (spektrokolorimetr) a dvoupaprskový
- statický vzorek (kyveta) X průtočný systém
- UV, VIS, IF spektrum



# Absorpční spektrometr

## Zdroj elmag. záření

- tělesa rozžhavená el. proudem (wolframová či uhlíková vlákna žárovek – IR a VIS spektrum, halogenové žárovky – VIS spektrum, Nernstův hořák – žhavená keramická tyčinka světlo o 2-50 µm, deutériová lampa – UV oblast)
- výbojky (čárové i spojité spektrum)

Speciální spektroskopické metody využívají také elmag. synchrotronové záření (vznik při pohybu nabité částice, spojité spektrum v UV oblasti)

## Monochromátor

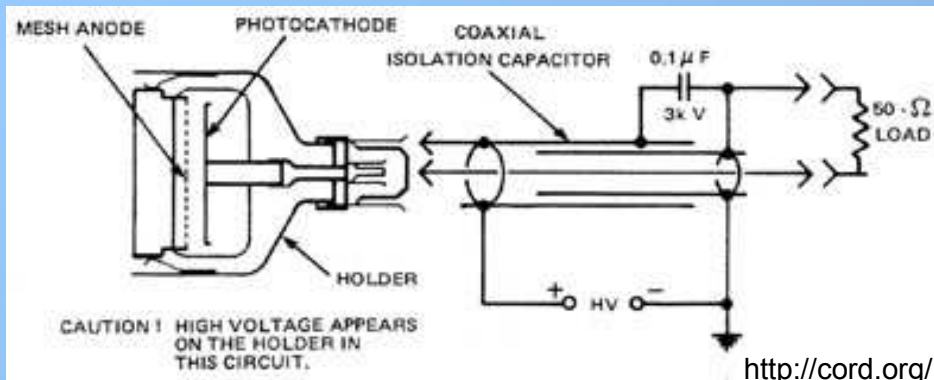
- vstupní štěrbina
- disperzní prvek (hranol, mřížka), rozptyl záření dle  $\lambda$ , natáčecí element
- výstupní štěrbina (výstup záření o konkrétní  $\lambda$ )

**Detektor záření** (podmínky: spektrální citlivost, poměr mezi signálem a šumem, linearita odezvy, časová odezva, ...)

- termální detektory (široká spektrální citlivost, dopadající energie elmag. záření způsobuje teplotní změnu detektoru – termočlánek, termistor, bolometr, Golayova cela – změna objemu plynu, pyroelektrický jev – změna rozložení náboje)
- polovodičové detektory (fotovoltaický článek, polovodičová fotodioda)
- fotoemisní detektory (založeny na vnějším fotoelektrickém jevu, vakuová fotodioda, fotonásobiče)



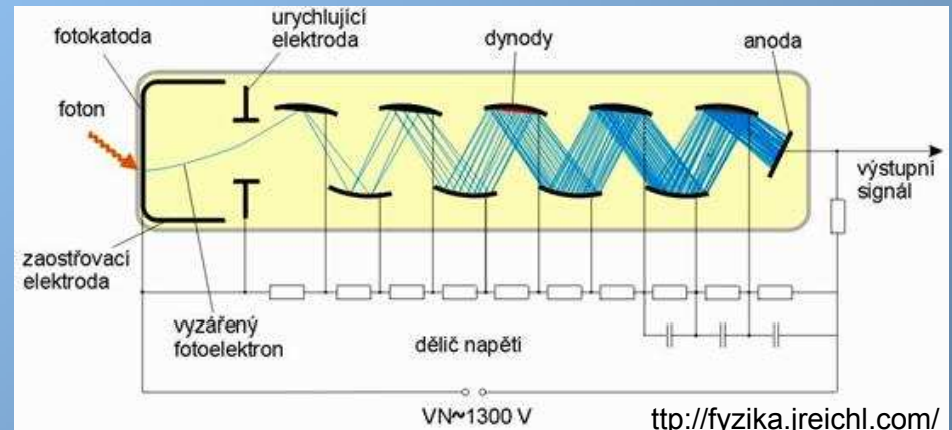
## Vakuová fotodioda



Dopadající fotony způsobují uvolňování elektronů z katody do vakua a jejich dopad na anodu – vznik přepětí

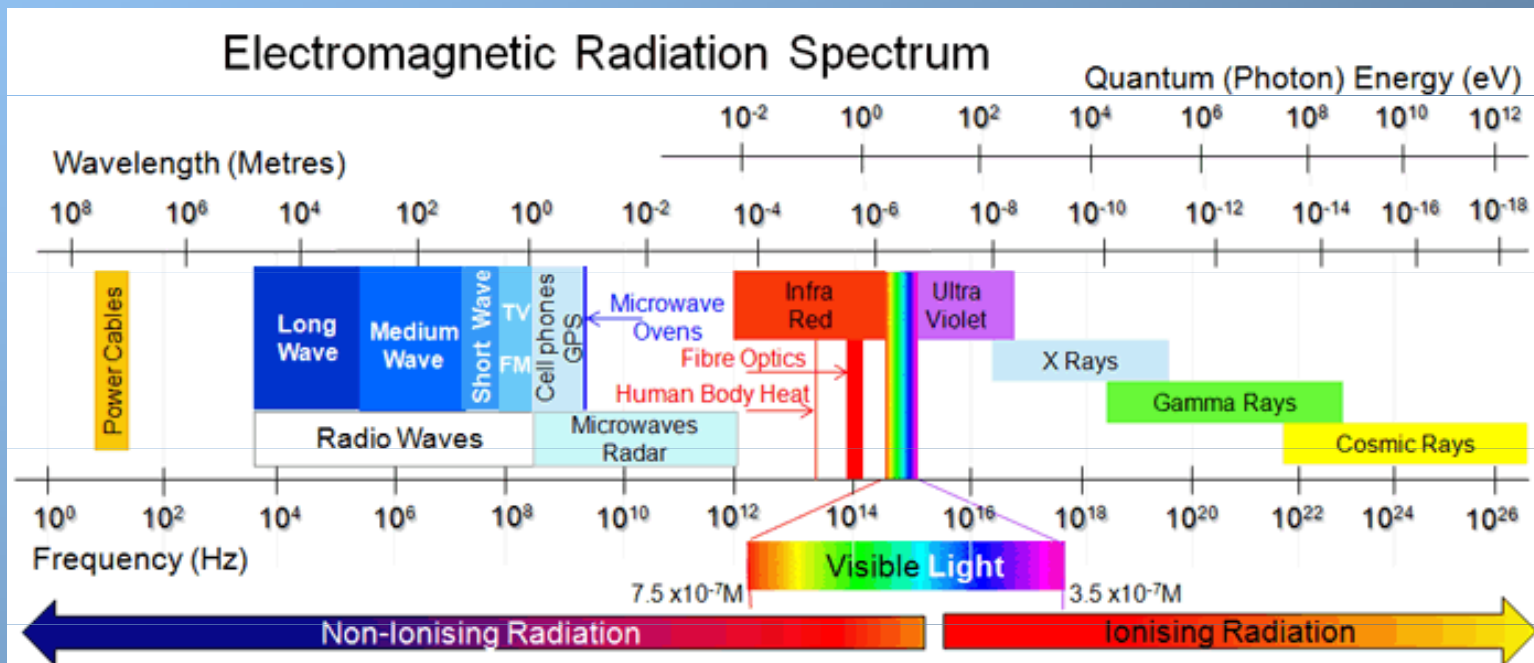
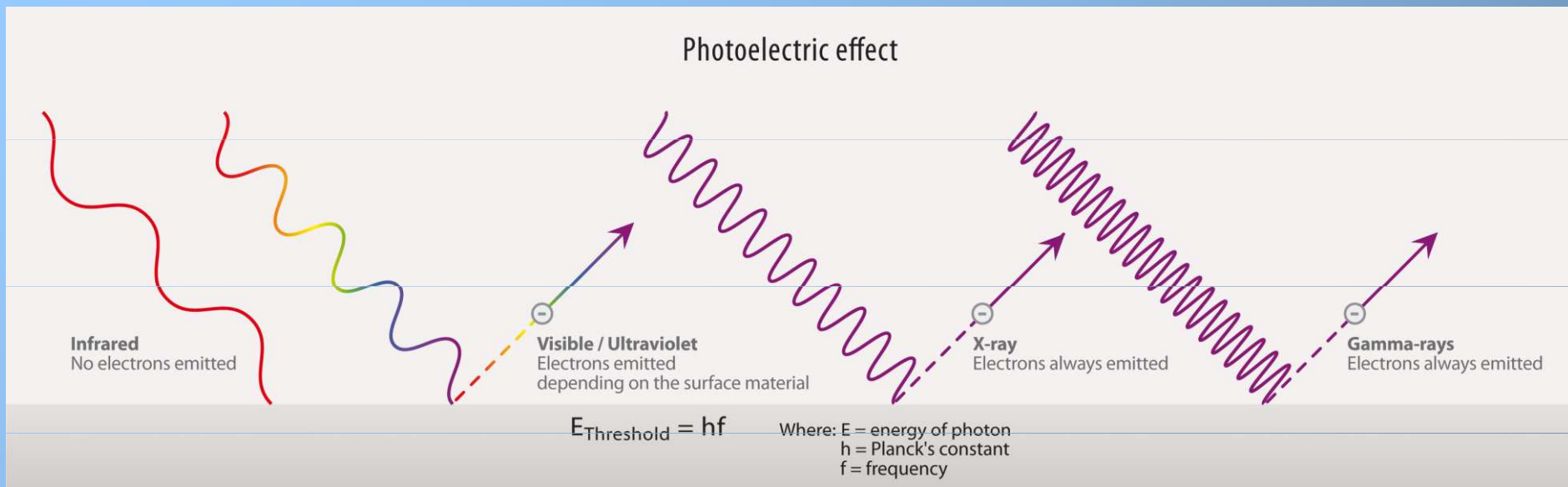


## Fotonásobič



Emise elektronů na fotokatodě po dopadu fotonu díky fotoelektrickému jevu, urychlení elektronu elektrickým polem a jeho dopad na dynodu o vysokém kladném potenciálu, sekundární emise elektronů z dynody, ..., dopad elektronů na anodu





# Absorpční spektrometr

## Kyvety

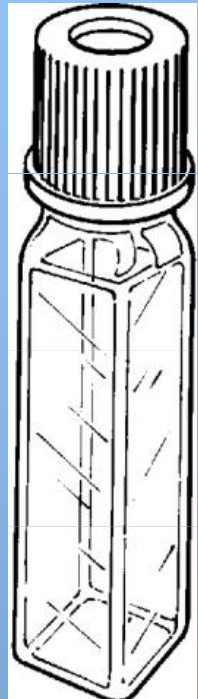
- dle objemu a „tloušťky“ obsaženého vzorku ( $V>3\text{ml}$ ,  $V<3\text{ml}$ , mikrokyvety)
- dle použitého materiálu (sklo VIS, křemenné sklo UV, chlorid sodný IF, polystyren, ...)
- dle spektrální propustnosti
- dle typu vzorků

## Příslušenství

- držáky kyvet (cilindrické, mikrokyvety, průtočné kyvety ...)
- termostatované kyvety
- měniče a podavače kyvet
- „Sippery“ - ze software spektrometru řízený systém peristaltické pumpy pro průtočnou kyvetu
- modul integrační koule - umožňuje měření sypkých, pastových a zakalených vzorků
- kalibrační zdroje
- software
- záznamová paměť, vstupy a výstupy



220-900 nm spektrální  
rozsah, 70 µL, analýza  
DNA, proteiny



3,5 ml, těkavé materiály

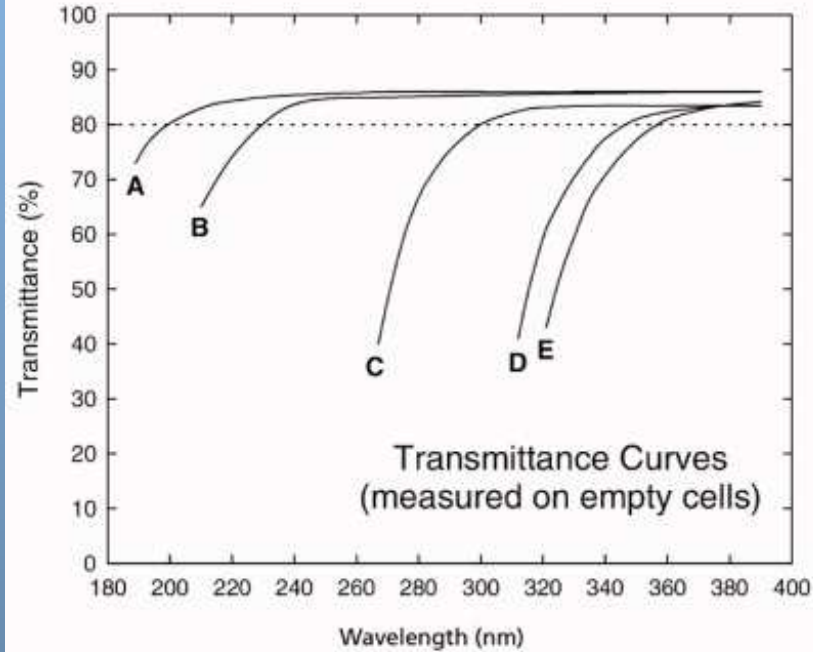


0,75 ml, mikrokyveta

#### Cuvets

Cuvets are generally considered useful at wavelengths where their transmittance is 80% or greater using an empty cell. Cells filled with distilled water theoretically give transmittance values up to 8% higher because reflective losses are minimized.

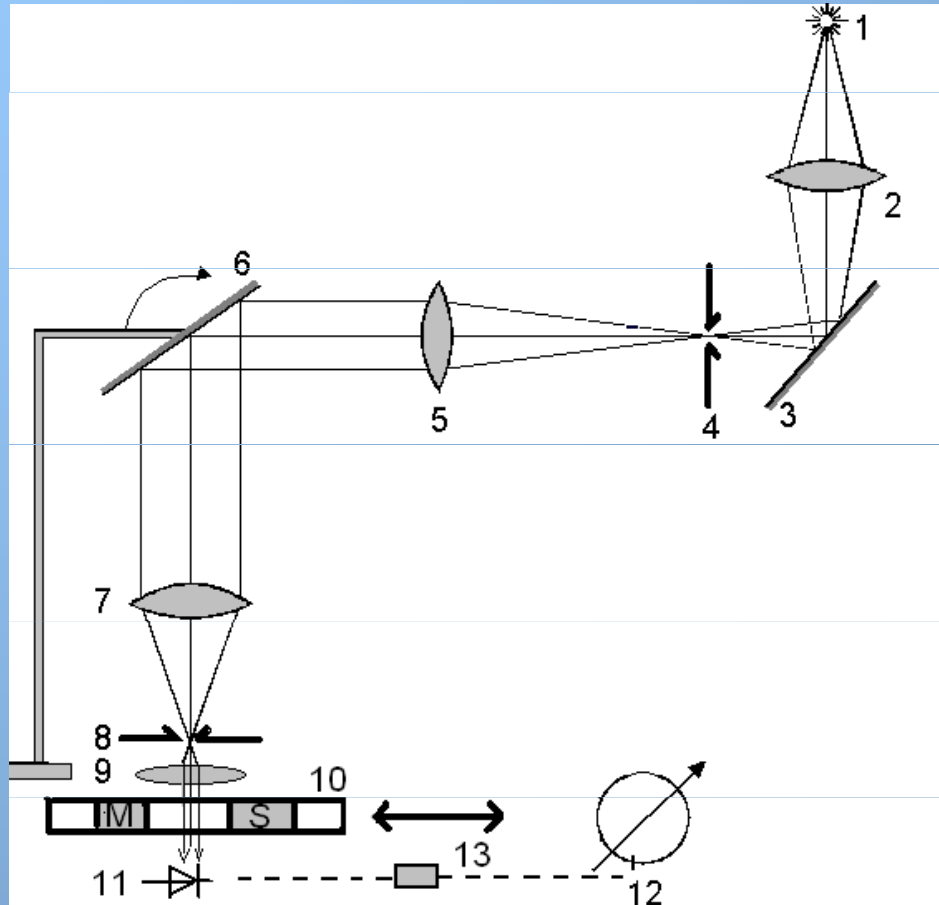
Unless otherwise indicated, outside dimensions are 12.5 x 12.5 x 45 mm, and path length is 10 mm. Cuvets are sold singly, not in pairs. Modern precision manufacturing methods make pre-matching unnecessary.



Spektrální transmitance



# Spektrofotometr jednopaprskový- SPEKOL 11

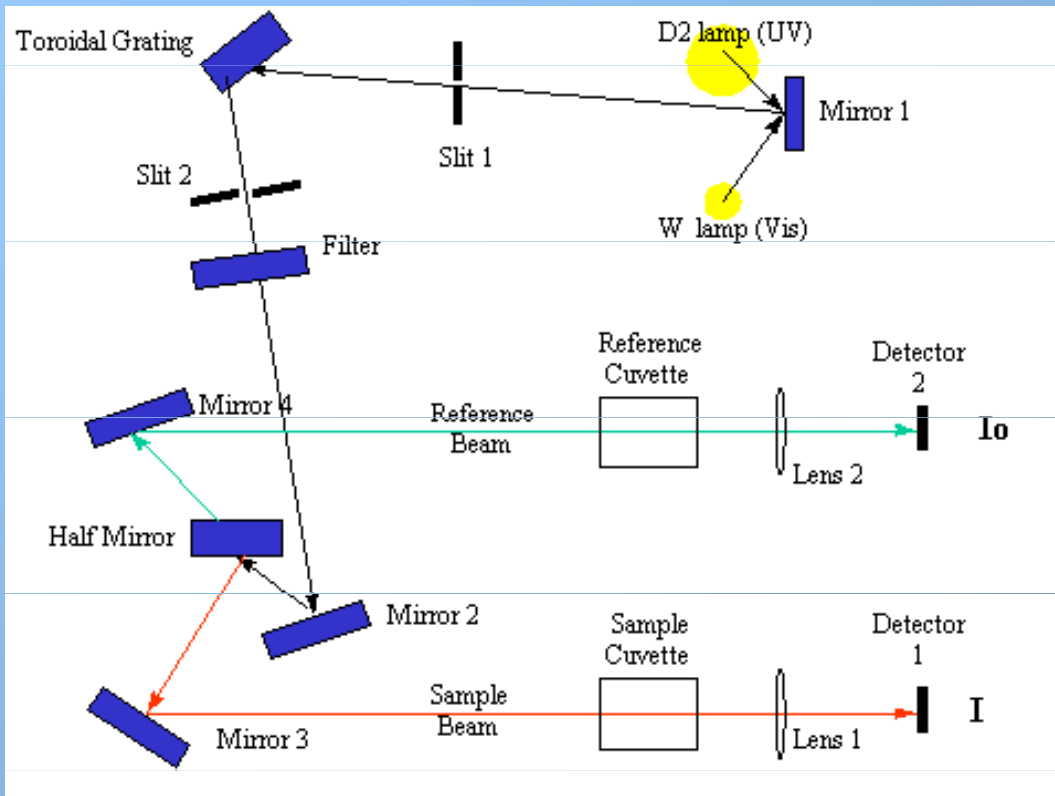


- 1- zdroj elmag. Záření
- 2- kondenzátor
- 3- zrcadlo
- 4- vstupní štěrbina
- 5- kolimátor
- 6- mřížka monochromátoru (změna  $\lambda$ )
- 7- kolimátor
- 8- výstupní štěrbina
- 9- kolimátor
- 10- pohyblivý držák kyvet
- M- měřený vzorek
- S- srovnávací vzorek
- 11- vakuová fotonka (detektor)
- 12- měřič signálu, display
- 13- zesilovač signálu





# U-2001 UV/Visible Spectrophotometer



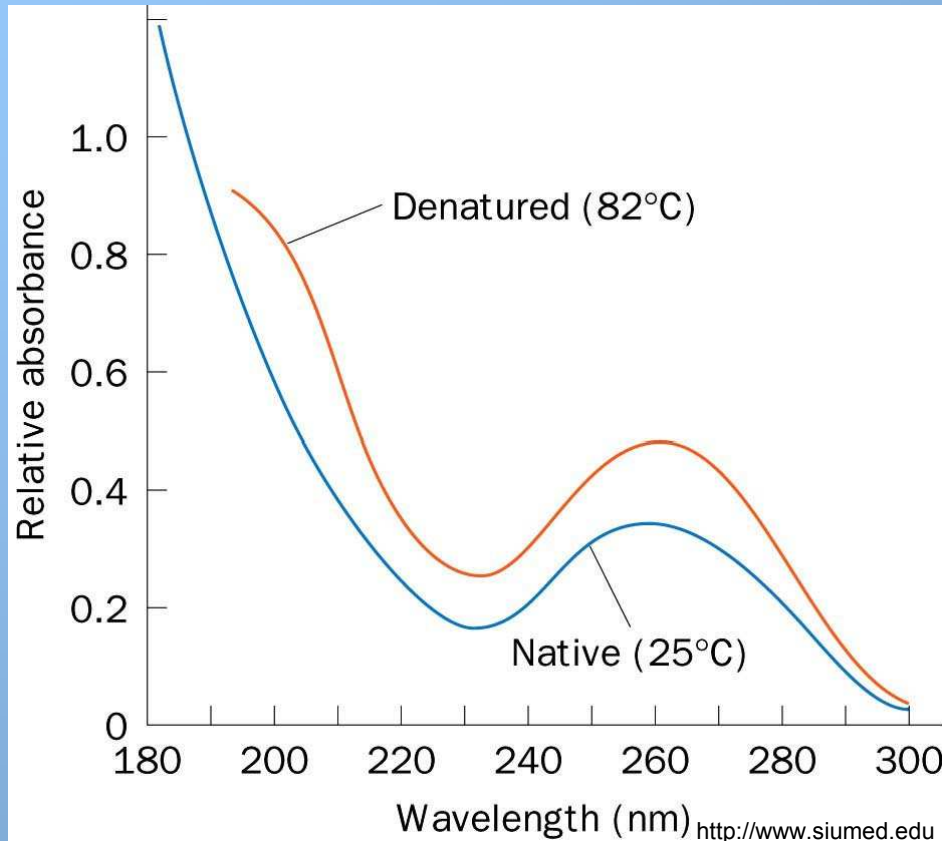
Dvoupaprskový spektrometr,  
deuteriový a wolframový zdroj

Průchod elektromagnetického záření přes kyvetu s měřeným vzorkem i kyvetu s referenčním vzorkem

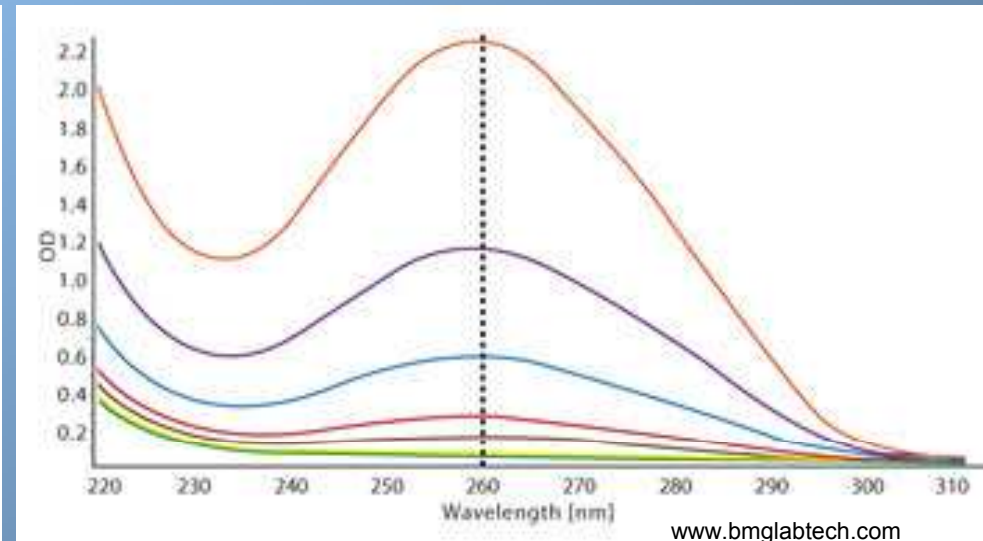


## Praktická laboratorní aplikace

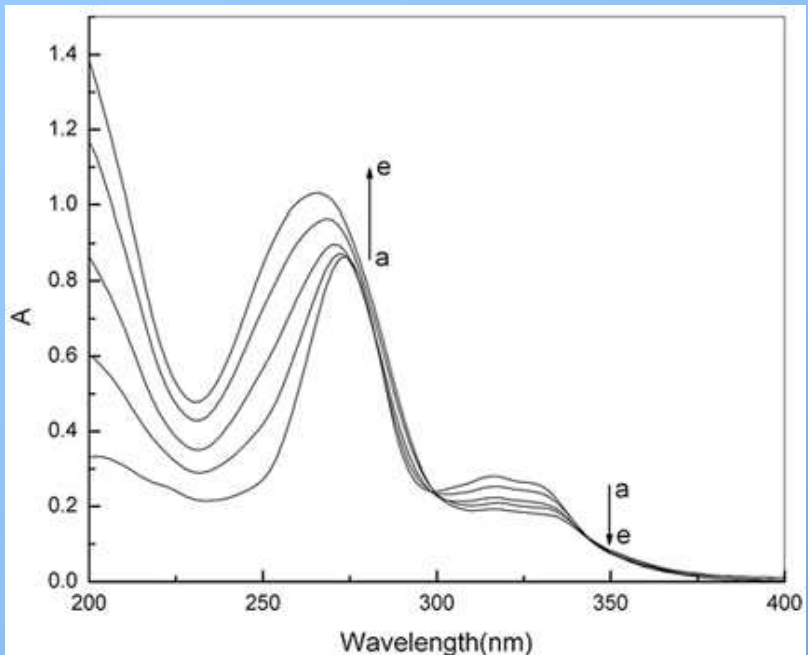
Stanovení koncentrací analyzovaných látek a jejich fyziologického stavu



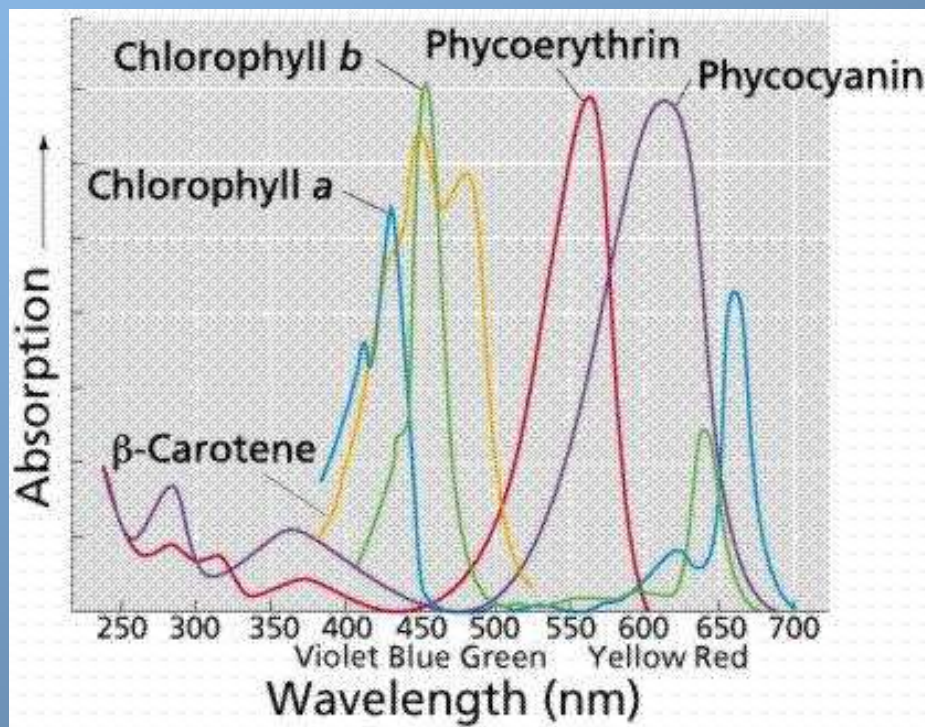
Absorpční křivky DNA v závislosti na fyziologickém stavu



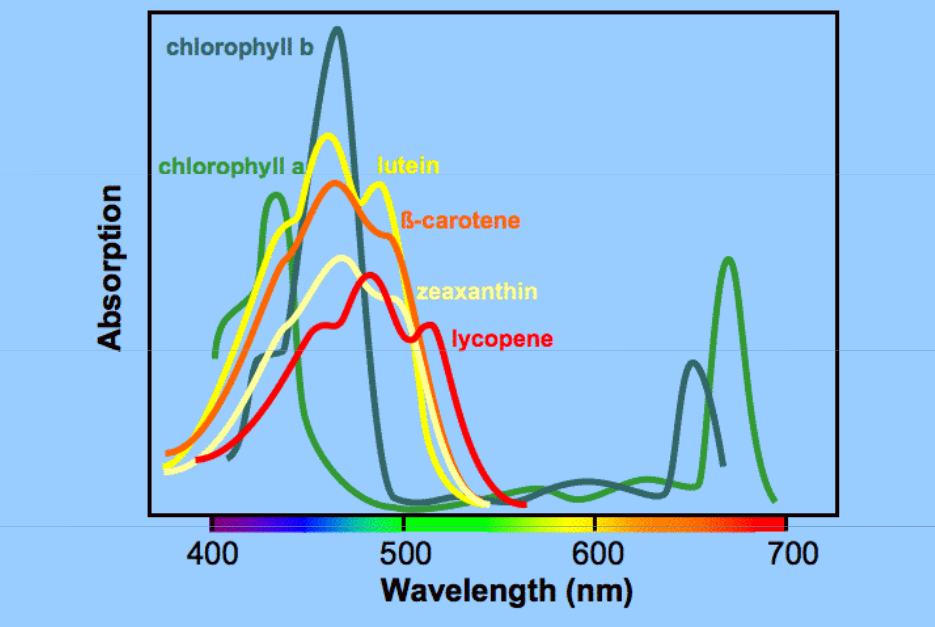
Absorpční křivky telecí thymové DNA o různé koncentraci



UV/Vis absorption spectra of  $1.5 \times 10^{-5}$  M CFX and different concentrations of DNA (a) 0 M (b)  $1.0 \times 10^{-5}$  M (c)  $2.0 \times 10^{-5}$  M (d)  $3.0 \times 10^{-5}$  M (e)  $4.0 \times 10^{-5}$  M . Yuejuan Cai et al., Frontiers in Bioscience 12, January 1, 2007

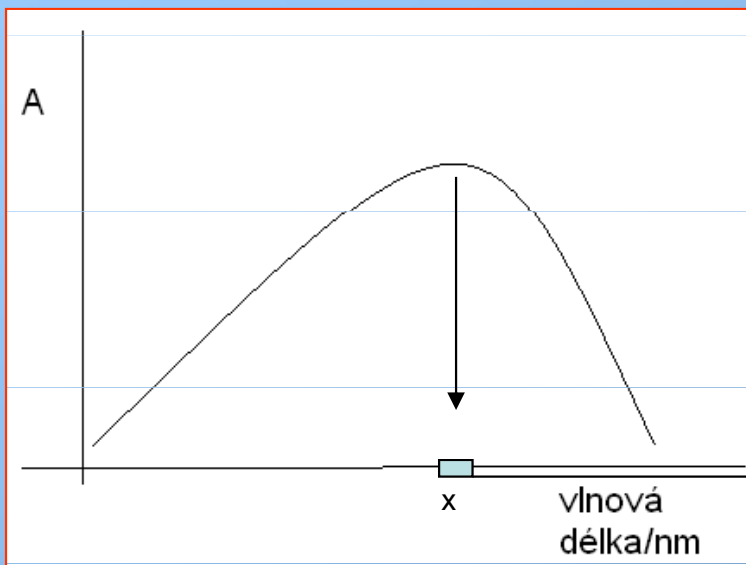


The photosynthetic pigments absorb much of the spectrum

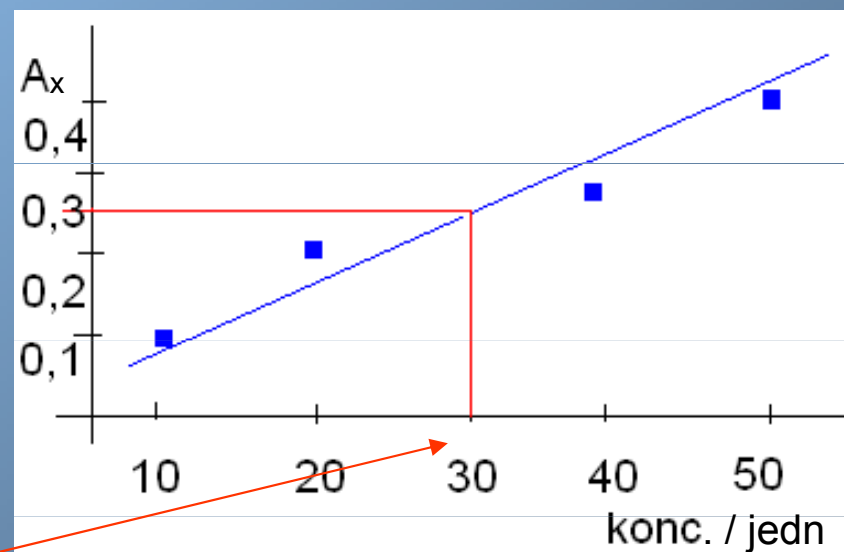


Absorpční spektra pigmentů

## Stanovení neznámé koncentrace roztoku pomocí kalibrační křivky a absorpční spektometrie



1) Stanovení vlnové délky pro absorpční maximum



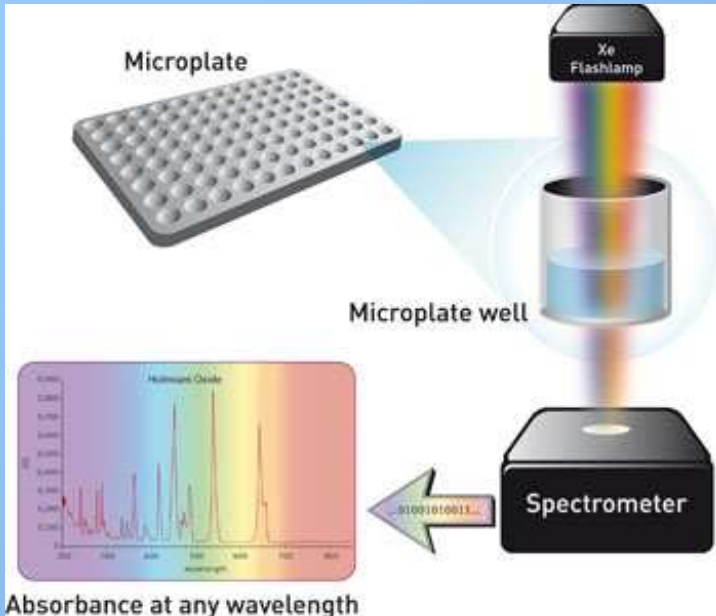
2) Vytvoření kalibrační křivky- závislost hodnoty absorpce na koncentraci roztoku

Neznámá koncentrace

3) Odečtení hodnoty neznámé koncentrace vzorku



## Další využití absorpční spektrometrie



testy  
buněčných  
kultur,  
reakčních  
směsí,  
roztoků, ...

oximetrie

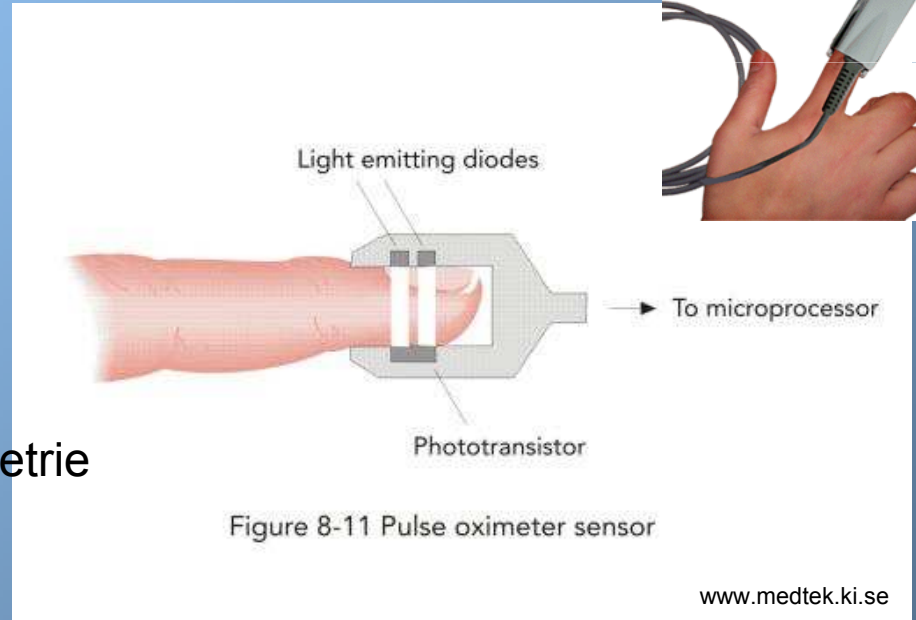


Figure 8-11 Pulse oximeter sensor

[www.medtek.ki.se](http://www.medtek.ki.se)

**Testy buněčných kultur, ...** - měření absorpce světla ve vzorcích umístěných v jednotlivých jamkách kultivačních destiček (spektrální analýza, koncentrační analýza, ...)

**Oximetrie** - využívá principu rozdílné absorpce světla molekulou oxyhemoglobinu a deoxyhemoglobinu (max. 660 nm a 920 nm). Pulzní oxymetr měří změny v intenzitě světla dvou vlnových délek během arteriální systoly a diastoly. Hodnoty jsou uváděny v procentech saturace kyslíkem ( $\text{SpO}_2 = 100 \times \text{oxyhemoglobin} / (\text{oxyhemoglobin} + \text{deoxyhemoglobin})$ ). Pozor na lakování o rozličné ozdoby nehtů, falešné hodnoty!



## Další využití absorpční spektrometrie

### Indikátorová diluční metoda

metoda pro zjištění průtoku tekutin (zejména krve) pomocí nástřiku barviva a stanovení jeho přítomnosti v čase v průtokové kyvetě – hodnocení minutového srdečního výdeje

### Pletysmografická Peňázova metoda

metoda pro nepřímé měření krevního tlaku. Podstatou metody je průchod elektromagnetického záření prstem vyšetřované osoby. Při tlakové pulsaci krve se mění i objem tkáně a tím i hodnota absorpce. Vhodným tlakem v manžetě jsme schopni kompenzovat systolický a diastolický tlak krve – nulová změna hodnoty absorpce

### Stanovení bilirubinu v krvi

metoda stanovení bilirubinu v krvi založena na absorpci elektromagnetické vlny o vhodné vlnové délce krví, v případě např. sloučeniny azobilirubinu při 570 nm

### Venózně okluzní objemová pletysmografie

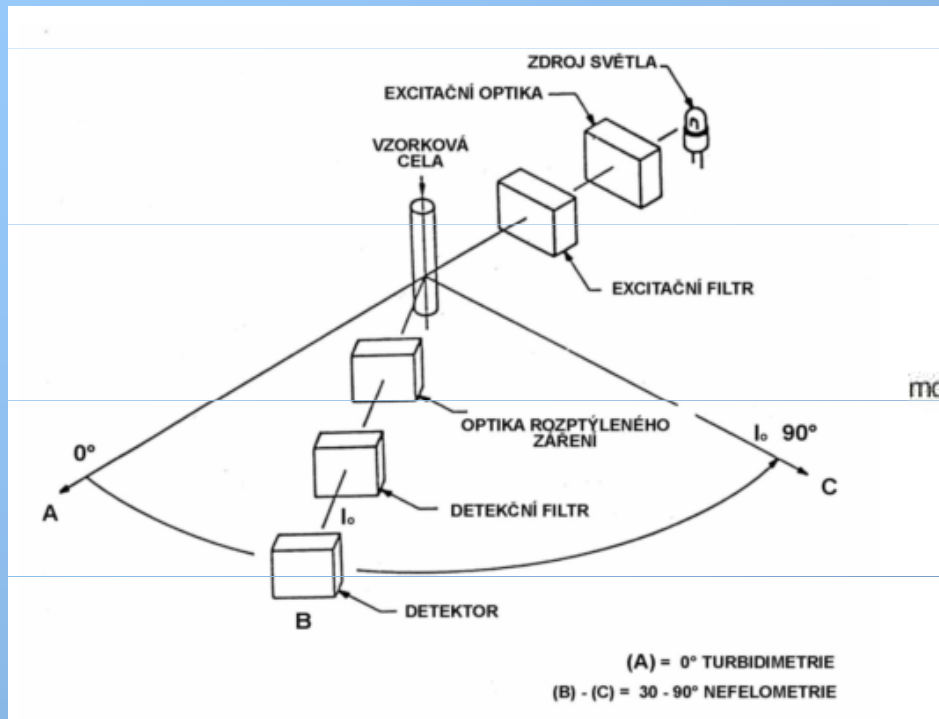
metoda sloužící k vyšetření změn prokrvení prstů končetin v závislosti na teplotě prostředí. Provádí se obdobně jako oximetrie, změna toku krve je provázena změnou hodnoty absorpce procházejícího elektromagnetického záření



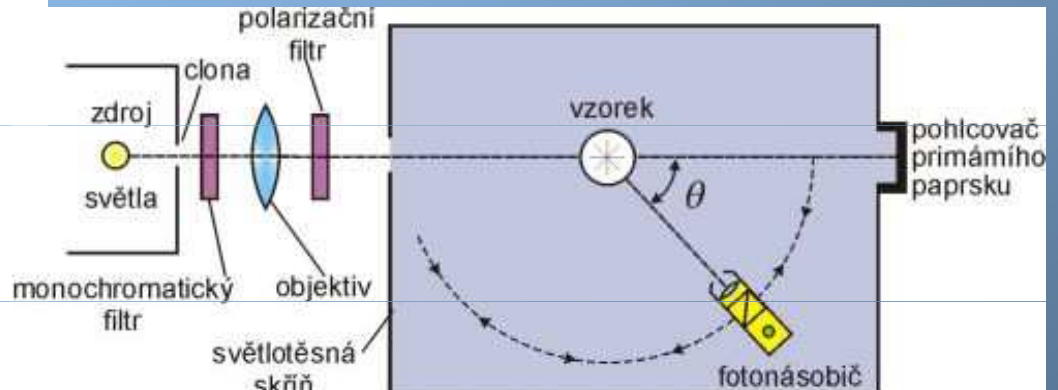
## Nefelometrie a turbidimetrie

- optické metody využívající rozptylu světla heterogenními částicemi v suspenzích a koloidních roztocích
- **nefelometrie** je nejčastěji využívána pro nižší koncentrace rozptýlených častic, detekce intenzity rozptýleného záření nejčastěji ve směru kolmém na vstupující paprsek, využívá Tyndallův jev
- **turbidimetrie** je vhodná pro vyšší koncentrace rozptýlených častic, detektor umístěn v ose paprsku, detekce intenzity záření prošlého disperzním vzorkem a ochuzeného o rozptýlenou složku, stanovení tzv. Turbidance –  $A_T$  – stupeň zákalu
- vhodné metody ke stanovení např. proteinů v séru, znečištění vzduchu a kapalin pevnými částicemi a pod.
- Tyndallův jev – při čisticích disperzního podílu větších než 5 nm, lze pozorovat rozptyl světla – např. světelny kužel při průchodu světelného paprsku roztokem

# Nefelometrie a turbidimetrie



pracovní schéma turbidimetrie a nefelometrie



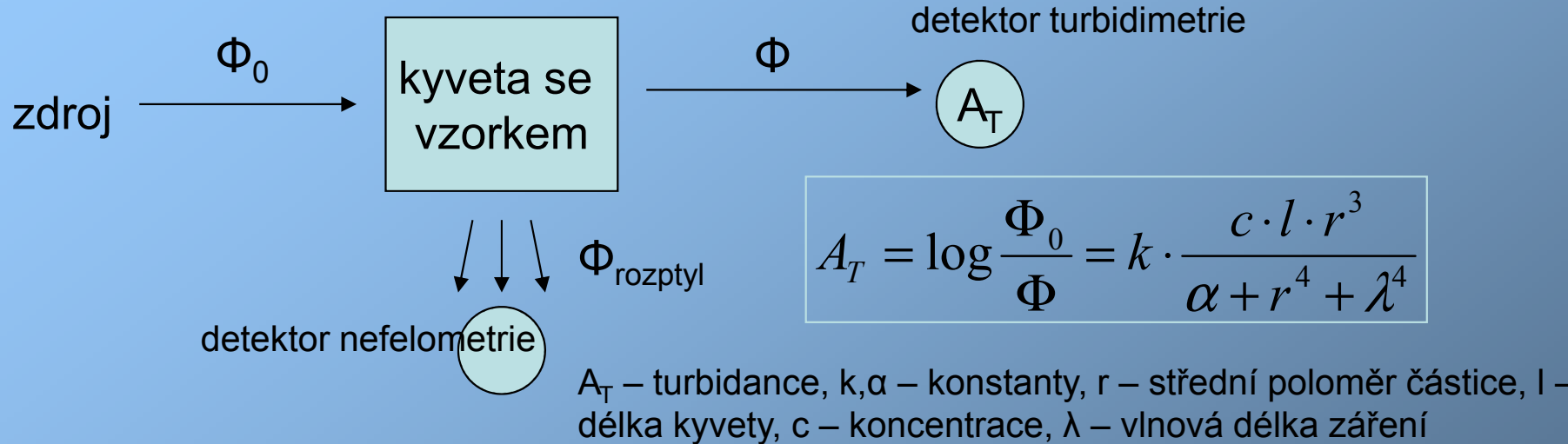
Elektronická publikace „Co je co v povrchové a koloidní chemii“, verze 1.0, 2005

Jednotky kalnosti:

NTU – nefelometrická jednotka kalnosti, FTU – formazinová jednotka kalnosti (standard),  
NFU – nefelometrická formazinová jednotka



## Turbidimetrie



- citlivost turbidimetrie je nepřímo úměrná zvolené vlnové délce, proto je vhodné zvolit co nejkratší vlnové délky zdroje záření – nutnost monochromatičnosti
- ve zředěných disperzích (roztocích) je přechod mezi absorpční fotometrií a turbidimetrií neostrý, a proto lze měřenou veličinu  $A_T$ , jíž odpovídá v absorpční fotometru  $A$  u klasické absorpční fotometrie (absorbance), vyjádřit vztahem

$$A_T = (e + T) \cdot c \cdot l,$$

kde:  $e$  - absorpční koeficient,  $T$  - turbiditní koeficient,  $c$  - koncentrace,  $l$  - světelná dráha (tloušťka) měřicí kyvety

# Nefelometrie

- měření intenzity rozptýleného „Tyndallova“ světla na dispergovaných částicích



- zdrojem světla je nejčastěji halogenová a xenonová výbojka či laser
- k měření využívám nefelometrický nástavec fotometru či nefelometr
- vlnová délka difúzně rozptýleného záření a záření zdroje je stejná, i když v malém rozsahu dochází na částicích k emisi záření o delší vlnové délce
- optimální poměr mezi vlnovou délkou záření monochromatického zdroje a poloměrem častic je 10:1
- příkladem aplikace nefelometrie v přírodních vědách je stanovení jednotlivých plazmatických bílkovin či komplexů antigen-protilátka, čistota ovzduší ...
- závislost odezvy nefelometru na koncentraci stanovované bílkoviny je obecně nelineární. Jde většinou o polynom druhého či třetího řádu. V případě vhodně zvolených podmínek je možno závislost approximovat proložením přímkou. Obecně platí, že linearita měření je tím lepší, čím je koloidní disperze více naředěna nebo je menší velikost častic



## Nefelometrie a turbidimetrie

Einstein-Debyeova rovnice pro rozptyl světla ... *pro zvídavé...*

$$I_\alpha = I_0 \cdot \frac{4\pi^2 \cdot n_0^2 \cdot F(\alpha) \cdot w}{N_A \cdot \lambda^4 \cdot r^2 \cdot \left( \frac{1}{M} + 2B \cdot w + \dots \right)} \cdot \left( \frac{dn}{dw} \right)^2$$

$I_\alpha$  je intenzita světla rozptýleného objemovou jednotkou disperzní soustavy pod úhlem  $\theta$ ,

$I_0$  celková intenzita dopadajícího (primárního) záření,

$n$  index lomu disperzní soustavy,

$n_0$  index lomu čistého disperzního prostředí,

$w$  hmotnostní koncentrace,

$M$  molární hmotnost disperzního podílu,

$\lambda$  vlnová délka primárního i rozptýleného světla,

$r$  vzdálenost detektoru, měřícího intenzitu, od zdroje rozptýleného světla

$\alpha$  úhel pozorování, tj. úhel sevřený primáním paprskem a paprskem rozptýleného světla, který dopadá do detektoru,

$F(\alpha)$  je funkce úhlu pozorování, jejíž tvar závisí na charakteru primárního paprsku (pro vertikálně polarizované primární světlo  $F(\alpha)=1$  , při horizontální polarizaci  $F(\alpha)=\cos^2\alpha$ , pro nepolarizované světlo  $F(\alpha)=0,5(1+\cos^2\alpha)$  ),

$B$  druhý viriální koeficient - stejný jako u viriálního rozvoje pro vyjádření koncentrační závislosti osmotického tlaku



## Nefelometrie a turbidimetrie

Přenosný turbidimetr (nefelometr) 2100P (Hach)



„Přesný dvoudetektorový mikroprocesorem řízený turbidimetr umožňuje skutečnou eliminaci barvy a hodí se i k měření komplikovaných barevných vzorků v terénu. Jeden detektor je umístěn pod úhlem 90° na LED zdroj světla – 860 nm, druhý detektor je přímý... Přístroj měří v automatickém modu v rozsahu 0-1000 FNU ...Kalibrace se provádí na primární formazínové standardy.“

<http://www.ekotechnika.com>



# Nefelometrie a turbidimetrie



Nefelometr hodnotící kvalitu ovzduší - řídící jednotka, optické prostředí, venkovní sběrná trubice

<http://badc.nerc.ac.uk>



<http://www.zefon.com>

Ruční nefelometr pro analýzu obsahu prachových částic v ovzduší. Výrobcem deklarovaná citlivost měření je  $1\text{-}10,000 \mu\text{g}/\text{m}^3$  s rozlišením až  $1 \mu\text{g}/\text{m}^3$ .

